



## The study of some characteristics of population dynamics and fishing status of common carp (*Cyprinus carpio* Linnaeus, 1758) in the southeastern part of the Caspian Sea (Golestan province) in the years 1395-1400

Hassan Mohammadkhani<sup>\*1</sup>, Hojjatollah Jafaryan<sup>2</sup>, Hadi Raeisi<sup>3</sup>,  
Rasoul Ghorbani<sup>4</sup>, Rahman Patimar<sup>5</sup>, Abdolazim Fazel<sup>6</sup>

- Corresponding Author, Research Instructor, Inland Waters Aquatics Resources Research Center-Gorgan, Iranian Fisheries Sciences Research Institute, Agricultural Research Education and Extension Organization (AREEO), Gorgan, Iran. E-mail: [khanihm43@gmail.com](mailto:khanihm43@gmail.com)
- Professor, Dept. of Fisheries, Faculty of Agriculture and Natural Resources, Gonbad Kavous University, Gonbad Kavous, Iran. E-mail: [hojat.jafaryan@gmail.com](mailto:hojat.jafaryan@gmail.com)
- Assistant Prof., Dept. of Fisheries, Faculty of Agriculture and Natural Resources, Gonbad Kavous University, Gonbad Kavous, Iran. E-mail: [raeisi\\_hadi@yahoo.com](mailto:raeisi_hadi@yahoo.com)
- Professor, Dept. of Aquatic Production and Exploitation, Faculty of Fisheries and Environmental Sciences, Gorgan University of Agricultural Sciences and Natural Resources, Gorgan, Iran. E-mail: [rasulghorbani@gmail.com](mailto:rasulghorbani@gmail.com)

### Article Info

### ABSTRACT

**Article type:**

Full Length Research Paper

**Article history:**

Received: -----

Revised: -----

Accepted: -----

**Keywords:**

Caspian Sea,  
Catch reduction pattern  
Common carp,  
Population dynamics

The common carp (*Cyprinus carpio* Linnaeus, 1758) is a prominent and valuable species that inhabits the Caspian Sea, unfortunately, its catch has decreased greatly in recent years. In this research, the catch reduction pattern of this species was evaluated using catch per unit effort (CPUE) data in the period of 1395 to 1400. The fork length of the samples varied across different years, with a range of 17 to 75 cm observed over the six years study period. Also, its dynamic parameters were different in different years and did not follow the fixed pattern. The current fishing mortality rate compared to the biological reference points showed that the current fishing trend is higher than the optimal mortality coefficients and the mortality limit. The results indicate a critical situation in the future of carp fishing and the continuation of this harvesting policy will lead to a sharp reduction and destruction of its stock.

Cite this article: Mohammadkhani, Hassan, Jafaryan, Hojjatollah, Raeisi, Hadi, Ghorbani, Rasoul, Patimar, Rahman, Fazel, Abdolazim. 2024. The study of some characteristics of population dynamics and fishing status of common carp (*Cyprinus carpio* Linnaeus, 1758) in the southeastern part of the Caspian Sea (Golestan province) in the years 1395-1400. *Journal of Utilization and Cultivation of Aquatics*, 13 (2), 1-16.



© The Author(s).

DOI: -----

Publisher: Gorgan University of Agricultural Sciences and Natural Resources

## مطالعه برخی خصوصیات پویایی‌شناسی جمعیت و وضعیت صید ماهی کپور معمولی (*Cyprinus carpio Linnaeus, 1758*) در بخش جنوب شرقی دریای خزر

(استان گلستان) در سال‌های ۱۳۹۵-۱۴۰۰

حسن محمدخانی<sup>۱\*</sup>, حجت‌الله جعفریان<sup>۲</sup>, هادی رئیسی<sup>۳</sup>, رسول قربانی<sup>۴</sup>, رحمان پاتیمار<sup>۵</sup>, عبدالعظیم فاضل<sup>۶</sup>

۱. نویسنده مسئول، مریب پژوهشی مرکز تحقیقات ذخایر آب‌های داخلی گرگان، گرگان، ایران. رایانامه: khanihm43@gmail.com
۲. استاد گروه شیلات، دانشکده کشاورزی و منابع طبیعی، دانشگاه گندکاووس، گندکاووس، ایران. رایانامه: hojat.jafaryan@gmail.com
۳. استادیار گروه شیلات، دانشکده کشاورزی و منابع طبیعی، دانشگاه گندکاووس، گندکاووس، ایران. رایانامه: raeisi@yahoo.com
۴. استاد گروه شیلات، دانشگاه علوم کشاورزی و منابع طبیعی گرگان، گرگان، ایران. رایانامه: rasulghorbani@gmail.com
۵. استاد گروه شیلات، دانشکده کشاورزی و منابع طبیعی، دانشگاه گندکاووس، گندکاووس، ایران. رایانامه: rpatismar@yahoo.com
۶. استادیار پژوهشی مرکز تحقیقات ذخایر آب‌های داخلی گرگان، گرگان، ایران. رایانامه: a.fazel58@gmail.com

### اطلاعات مقاله چکیده

نوع مقاله:	ماهی کپور معمولی ( <i>Cyprinus carpio Linnaeus, 1758</i> ) یکی از گونه‌های مهم و
مقاله کامل علمی - پژوهشی	بالارزش دریای خزر هست که متأسفانه صید آن در سال‌های اخیر به شدت کاهش یافته است.
تاریخ دریافت:	در این پژوهش، الگوی کاهش صید این گونه با استفاده از داده‌های صید بهازای واحد تلاش
تاریخ ویرایش:	(CPUE) در دوره زمانی سال‌های ۱۳۹۵ تا ۱۴۰۰ مورد ارزیابی قرار گرفتند. محدوده طول
تاریخ پذیرش:	چنگالی، نمونه‌ها در سال‌های مختلف متفاوت بود و در دامنه ۷۵-۱۷ سانتی‌متر بود. هم‌چنین
واژه‌های کلیدی:	پارامترهای پویایی آن در سال‌های مختلف متفاوت بود و از الگوی ثابتی پیروی نکرد. نرخ
الگوی کاهش صید،	مرگ و میر صیادی جاری در مقایسه با نقاط مرجع زیستی نشان داد که روند صید جاری
پویایی جمعیت،	بیش‌تر از ضرایب مرگ و میر بهینه و حد مرگ و میر است. نتایج بیانگر وضعیت بحرانی آینده
دریای خزر،	صید ماهی کپور بوده و ادامه این سیاست برداشت منجر به کاهش شدید و نابودی ذخایر آن
ماهی کپور دریایی	خواهد شد.

استناد: محمدخانی، حسن، جعفریان، حجت‌الله، رئیسی، هادی، قربانی، رسول، پاتیمار، رحمان، فاضل، عبدالعظیم (۱۴۰۳). مطالعه برخی خصوصیات پویایی‌شناسی جمعیت و وضعیت صید ماهی کپور معمولی (*Cyprinus carpio Linnaeus, 1758*) در بخش جنوب شرقی دریای خزر (استان گلستان) در سال‌های ۱۳۹۵-۱۴۰۰. نشریه بهره‌برداری و پرورش آبزیان، ۱۳، ۱۶-۱.

DOI: -----



© نویسنده‌گان.

ناشر: دانشگاه علوم کشاورزی و منابع طبیعی گرگان

## مقدمه

منابع زنده آبی دریا محدود اما تجدیدپذیر هستند، برنامه ارزیابی ذخایر آبیان تلاش دارد سطح مناسبی از بهره‌برداری آبیان را تعیین کند که در آن حدکثر تولید وزنی آبیان در یک دوره طولانی بهدست آید. تعیین میزان برداشت از ذخایر یک آبی و سطح تلاش صیادی لازم در هر سال بدون اثرگذاری روی میزان صید در سال‌های آینده دغدغه بسیاری از تصمیم‌گیرندگان در حیطه علوم شیلاتی می‌باشد (۱). ارزیابی ذخایر یک گونه ماهی وضعیت آن را در گذشته و حال بررسی می‌کند و تلاش می‌کند تا چگونگی شرایط یک ذخیره را پیش‌بینی کند، تا در مقابل شرایط مدیریتی حال و آینده آن ذخیره عکس العمل نشان دهد (۲).

در حال حاضر با توجه به افزایش صیادی و مسائل زیست‌محیطی، جمعیت گونه‌های مختلفی از ماهیان تحت فشار صیادی قرار گرفته‌اند که بررسی و شناخت ساختارهای جمعیتی و زیستی و همچنین کمیت ذخایر این گونه‌ها اجتناب‌ناپذیر است. از این روش‌های مهندسی هدف مدیریت صید، حفظ ذخایر آبیان می‌باشد. در یک مدیریت پیشرفته شیلاتی علاوه بر حفظ ذخایر ماهیان، حفاظت محیط زیست آنها نیز مدنظر قرار می‌گیرد تا هم از نظر اقتصادی و هم از نظر محیطی بازده مناسبی داشته باشند (۱).

بر روی ذخایر ماهی کپور و کلمه در آب‌های ایرانی جنوب دریای خزر عدم رعایت اندازه چشمی تور، رهاسازی بچه‌ماهیان در اندازه طولی و وزنی کمتر از اندازه استاندارد تعریف شده، تخریب رودخانه‌ها و نبود شرایط کمی و کیفی مطلوب در رودخانه‌ها از عوامل عمدۀ در کاهش ذخایر ذکر شده‌اند (۶).

طبق آمار سالانه موجود از میزان صید ماهی کپور وحشی در سال‌های ۱۳۷۶-۱۳۸۲، کاهش قابل توجهی یافته است (۳). روند کاهشی مقدار صید کپور از سال ۱۳۷۶ آغاز شد و در سال ۱۳۸۱ با ۸۲ تن صید به حداقل مقدار خود در ۱۵ سال اخیر رسید، ولی طی سال‌های ۱۳۸۲ تا ۱۳۸۴ با افزایش ناگهانی، مقدار صید آن به بیش از ۲۸۰۰ تن افزایش یافت و پس از آن سیر نزولی آن مشاهد گردید (۷). سیر نزولی صید پس از سال ۱۳۸۴ به گونه‌ای بود که سال ۸۷ میزان صید به ۳۴۳ تن کاهش یافت که نسبت به سال ۸۴ کاهش ۸۰ درصد را در ذخایر نشان می‌دهد. علاوه بر تغییرات در ذخیره و میزان صید کپور وحشی، نوساناتی در روند توزیع مکانی آن نیز در سال‌های اخیر مشاهده شده به‌طوری‌که همواره ساحل شرقی استان گلستان با بیش از ۹۵ درصد از سهم صید به عنوان زیستگاه اصلی ماهی کپور در محاذل شیلاتی مطرح بوده است ولی در منطقه میانکاله و سواحل شرقی استان مازندران و غرب استان گیلان (منطقه آستانه‌را تا شفارود) صید این ماهی گزارش شده است.

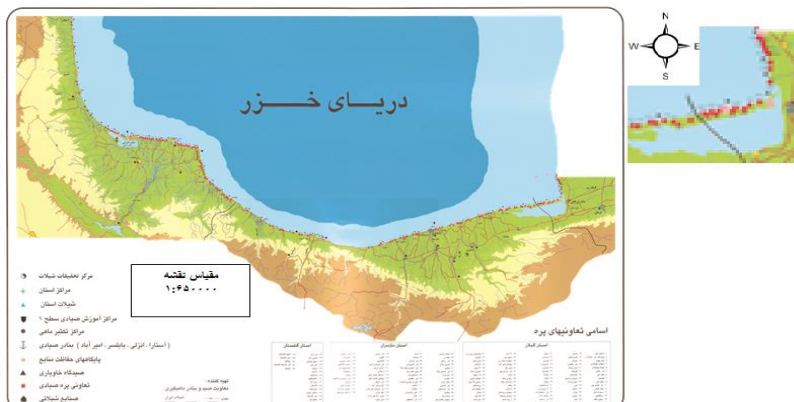
در زیست‌سنجی ماهی کپور در سال‌های ۱۳۸۲ تا ۱۳۸۴ بالغ بر ۹۵ درصد از ماهیان صید شده در این سال‌ها نابالغ و غیراستاندارد (کوچک‌تر از ۳۳ سانتی‌متر) بودند. این بررسی نشان می‌دهد که یک همزادگان قوی با تعداد زیادی ماهی جوان، وارد ذخایر ماهی کپور در آب‌های ایرانی دریای خزر شده است و بهدلیل عدم ورود همزادگانی در این مقیاس در سال‌های بعد، به تدریج از حجم صید کاسته شده است (۴).

زیستی، اطلاعات چرخه زندگی و ذخیره گونه در حال حاضر و گذشته، ارزیابی ذخیره و دامنه جغرافیایی زیست آن، در ارزیابی و بهره‌برداری مستمر از آن‌ها از اهمیت خاصی برخوردار است.

### مواد و روش‌ها

این مطالعه در ساحل جنوب شرقی دریای خزر در محدوده شرقی منطقه میانکاله تا ساحل گمیشان در استان گلستان انجام شد، تعداد ۲۱ تعاوونی پره در این ناحیه مستقر می‌باشند.

در سال‌های اخیر بهشدت از جمعیت ماهیان جوان کاسته شده و در ترکیب صید ماهیان ۱۵ سال به بالا هم دیده می‌شود. شرایط اکولوژیکی نامناسب، افزایش بی‌سابقه فعالیت صیادان غیرمجاز، سرد بودن آب دریا و نامناسب بودن شرایط جوی جهت عملیات پره‌کشی را می‌توان استفاده از آلات و ادوات غیراستاندارد توسط صیادان غیرمجاز، برداشت بیش از حد ظرفیت از ذخایر ماهیان استخوانی، استقرار آلات و ادوات صید غیرمجاز در فواصل دور از ساحل توسط صیادان غیرمجاز را می‌توان از عوامل کاهش صید است. در این خصوص، شناخت ویژگی‌های صید است.



شکل ۱- موقعیت مناطق نمونه‌برداری (تعاوونی‌های پره صیادی) از ماهیان استخوانی در محدوده استان گلستان.

رابطه زیر، با فرض بر این‌که صید به‌طور لحظه‌ای در اواسط سال به‌دست می‌آید، استفاده شد (۹). ضریب لحظه‌ای مرگ و میر طبیعی ( $M$ ) با استفاده از مدل  $ZM$  (۱۰) همراه با پارامترهای رشد و ان بر تالانفی<sup>۲</sup> و حداقل سن ( $t_{\max}$ ) محاسبه می‌شود، معادله مدل  $ZM$  به صورت ذیل است:

$$M = \frac{\beta k}{e^{K(tmb-t0)} - 1}$$

نمونه‌برداری از ماهیان به‌صورت ماهانه (از مهرماه هر سال تا فروردین سال بعد) از سال ۱۳۹۵ تا ۱۴۰۰ از داده‌های آرشیوی اداره کل شیلات و مرکز تحقیقات شیلات گلستان انجام گرفت. صید به‌ازای واحد تلاش (CPUE)<sup>۱</sup> روش پایه‌ای و مناسب به‌منظور ایجاد شاخصی در محاسبه فراوانی گونه‌های ماهی با به‌کارگیری اطلاعات مربوط به صید تجاری است (۸).

جهت تخمین زی‌توده در سینه و سال‌های مختلف، از آنالیز کوھورت براساس زی‌توده مطابق

2- Von Bertalanffy Growth Parameters

1- Catch Per Unit Effort

و آبزی به این طول نمی‌رسد) بر حسب سانتی‌متر (با استفاده از زیربرنامه پشتیبانی فای‌ست پیش‌بینی حداکثر طول با حدود اطمینان ۹۵ درصد). محاسبه سن صفر با استفاده از رابطه زیر انجام شد (۱۵).

#### معادله سن صفر

$$\text{Log}(-t_0) = -0.3922 - 0.2752 \text{ Log}(L^\infty) - 1.038 \text{ Log}(k)$$

جهت مقایسه شاخصه‌های رشد طول بینهایت و ضریب رشد بدست آمده، نمی‌توان آن‌ها را تک به تک با یکدیگر مقایسه کرد؛ بلکه باید با سایر مطالعات رشد این ماهی مقایسه کرد و همچنین جهت ارزیابی صحت محاسبات به دست آمده از تست معروف فای پریم مونرو استفاده می‌کنند، که دارای رابطه زیر می‌باشد (۱۶).

$$\Phi' = \text{Log } k + 2\text{Log} (L^\infty)$$

محاسبه نرخ مرگ و میر کل ( $Z$ ): در محاسبه مرگ و میر کل از روش منحنی صید<sup>۲</sup> است، با حدود اطمینان ۹۵ درصد مورد (۱۶) محاسبه قرار گرفت. معادله خطی بین لگاریتم طبیعی تعداد ماهی بر تغییرات زمانی ( $\ln [N/dt]$ ) و سن نسبی ماهی:

$$\ln [N/dt] = a - Zt$$

که در آن،  $Z$  نرخ مرگ و میر کل (بر سال<sup>-۱</sup>، year<sup>-1</sup>)،  $N$  تعداد در رده‌بندی طولی،  $dt$  تغییرات زمانی،  $a$  عرض از مبدأ معادله خطی،  $t$  سن نسبی. در محاسبه نرخ مرگ و میر طبیعی از رابطه زیر استفاده گردید. این رابطه که براساس آزمون رگرسیون شاخص‌های رشد و میانگین درجه حرارت محیطی

DB-SRA و MacCall Dick (۲۰۱۱) از روش به عنوان یک روش پایه برای تعیین محصول پایدار برای ذخایر آبزیانی که با کمبود اطلاعات مواجه هستند استفاده نمود و بیان کرد با توجه به میزان مرگ و میر طبیعی، سن بلوغ و تاریخچه صید، وضعیت ذخیره را برای رسیدن به تولید پایدار می‌توان ارزیابی نمود (۱۱). در این پژوهش، با استفاده از اطلاعات در دسترس با استفاده از مدل آنالیز کاهش ذخایر، وضعیت آینده ذخایر آن مدل‌سازی گردید.

جهت به دست آوردن رابطه بین وزن کل و طول چنگالی از رابطه نمایی زیر استفاده شد (۱۲).

$$TW=a.FL^b$$

که در آن،  $TW$  وزن کل به کیلوگرم،  $a$  ضریب ثابت در رابطه نمایی،  $L$  طول چنگالی به سانتی‌متر،  $b$  مقدار توان در رابطه نمایی.

جهت بررسی الگوی رشد ماهی از آزمون پائولی - مونرو استفاده گردید (۱۳).

جهت تعیین ارتباط بین طول و سن از رابطه رشد غیرفصلی و نبرتالانفی به صورت زیر استفاده شد (۱۴):

#### معادله رشد و نبرتالانفی

$$L_t = L_\infty (1 - e^{-k(t-t_0)})$$

که در آن،  $L_t$  طول چنگالی در سن  $t$  بر حسب سانتی‌متر،  $k$  ضریب رشد (بر سال<sup>-۱</sup>، year<sup>-1</sup>) از روش شفرد<sup>۱</sup>،  $t$  سن ماهی بر حسب سال،  $t_0$  سن صفر ماهی (سن فرضی در زمانی که طول آبزی صفر باشد که در واقع محل برخورد نمودار رشد با محور طولی است) بر حسب سال،  $L^\infty$  طول چنگالی بی‌نهایت (طول چنگالی مجانب در نمودار رشد که طول فرضی بوده

مدل تولید بر احیاء بورتون و هولت، نسبت به مدل تامپسون و بل ساده‌تر بوده و به محاسبات کم‌تری نیاز دارد. در این مدل با افزایش نرخ مرگ و میر صیادی، میزان تولید بر احیاء و همچنین زی‌توده بر احیاء محاسبه می‌گردد. بنابراین در نموداری که تشکیل می‌شود ابتدا با افزایش میزان نرخ مرگ و میر صیادی، تولید بر احیاء (Y/R) افزایش یافته و در یک نقطه ( $F_{max}$ )، این میزان کاهش می‌یابد. نقطه قله در این منحنی به عنوان بیشینه تولید بر احیاء پایدار و زی‌توده بر احیاء، میزان بقاء یافته برای احیاء نسل بعد شناخته می‌گردد (۱۶).

آب و مرگ و میر طبیعی ۱۷۵ گونه آبزی بود، به عنوان یک مدل از طرف پائولی ارائه گردید (۱۵):

### معادله نرخ مرگ و میر طبیعی پائولی

$$\text{Log } (M) = 0.0066 - 0.279 \text{ Log } (L^\infty) + 0.6543 \text{ Log } (k) + 0.4634 \text{ Log } (T)$$

که در آن، M نرخ مرگ و میر طبیعی (بر سال<sup>-۱</sup>، year<sup>-۱</sup>)، T میانگین سالانه درجه حرارت محیط (درجه حرارت سطحی آب) براساس درجه سانتی‌گراد؛ L<sup>∞</sup> طول بی‌نهایت بر حسب سانتی‌متر که باید بر حسب طول کل در نظر گرفته شود.

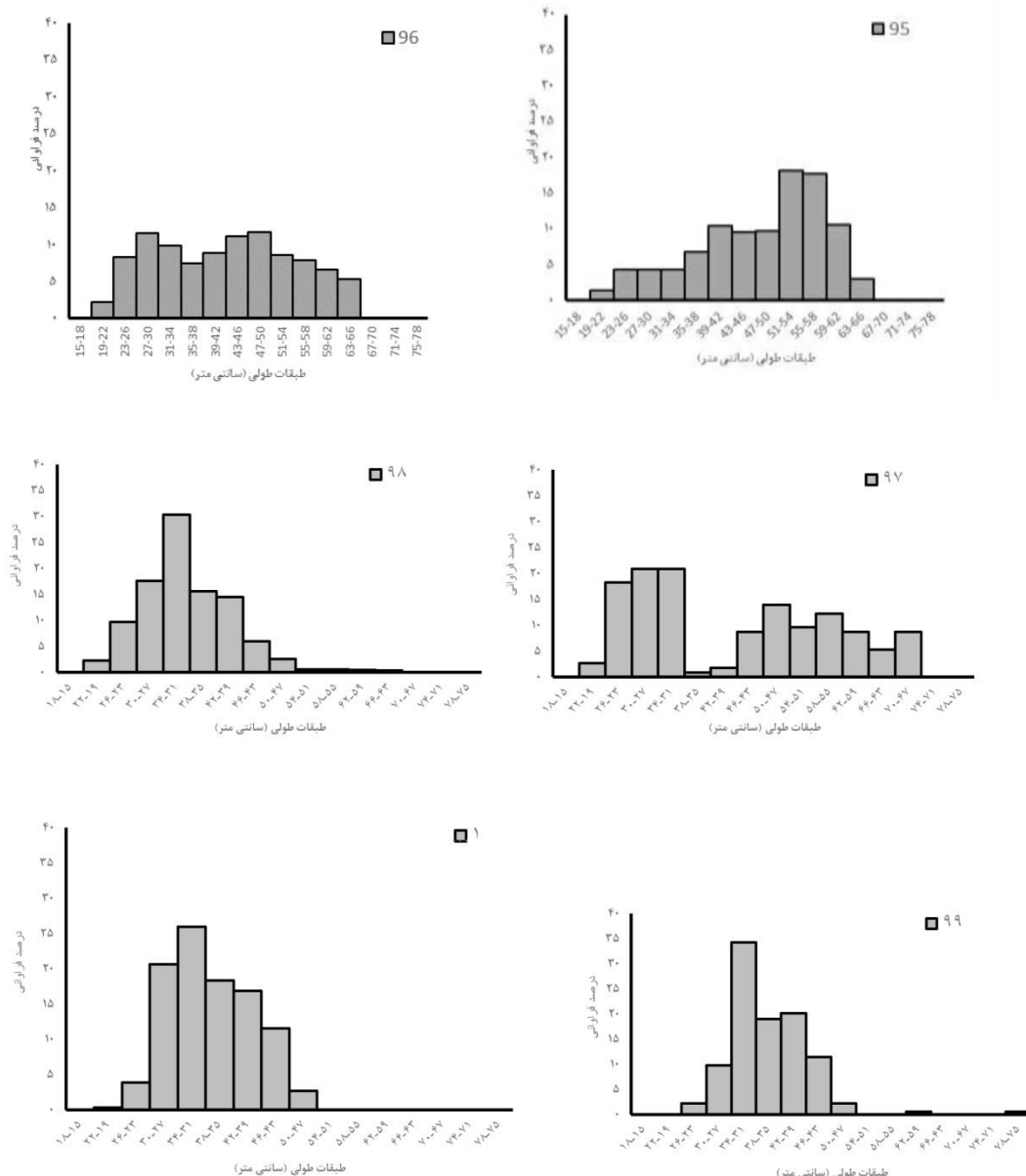
### معادله نرخ بهره‌برداری

$$U = F(1 - e^{-z})/Z$$

مدل تامپسون و بل که برای پیش‌بینی آثار تغییرات میزان تلاش صیادی بر صید (یا تولید) استفاده می‌شود، با استفاده از تجزیه و تحلیل جمعیت مجازی و براساس نرخ رشد و مرگ و میر در هر دسته از فراوانی طولی آبزی، مدلی را طراحی می‌کند که با اعمال یک شاخص عددی ضرب در مرگ و میر صیادی؛ میزان تولید، میانگین توده زنده و همچنین ارزش محصول را محاسبه می‌نماید (۱۶).

### نتایج

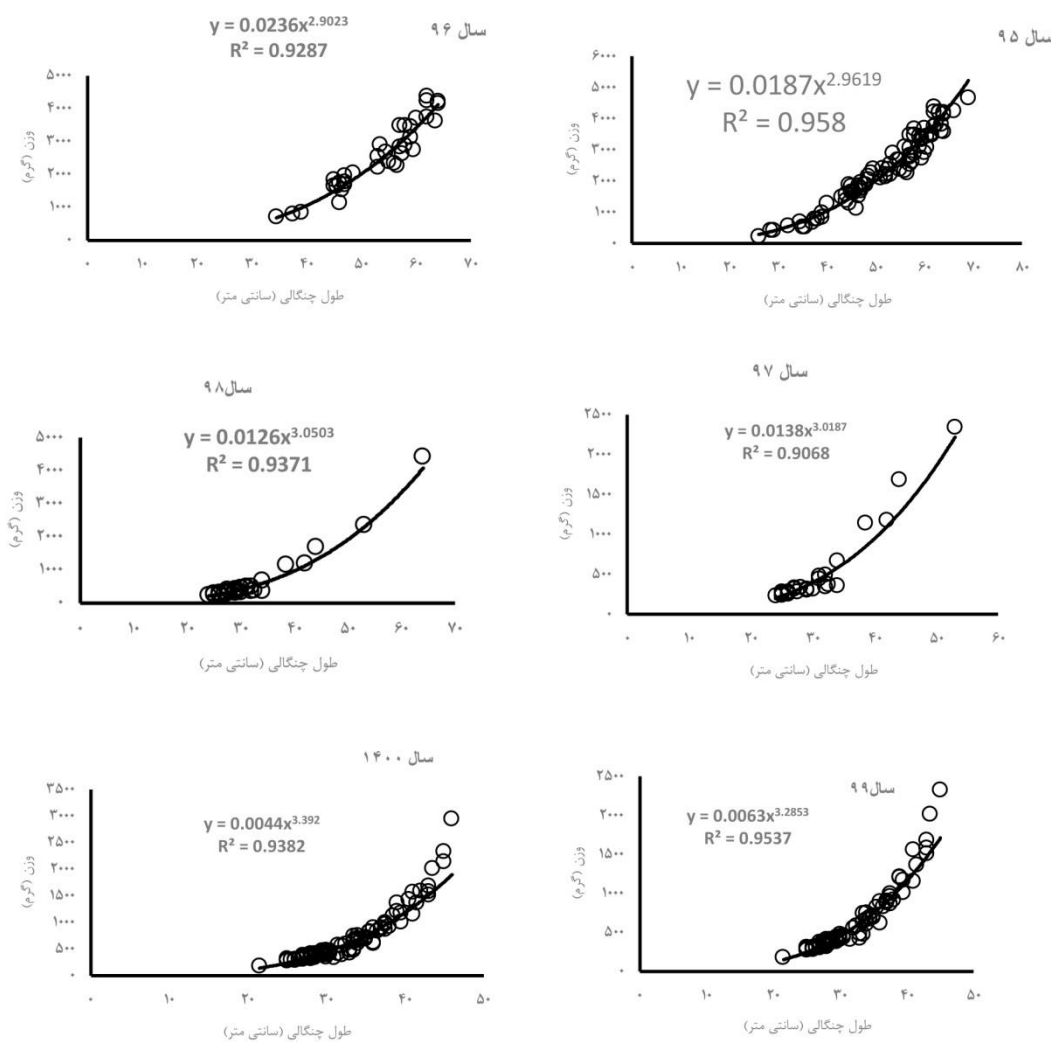
ماهیان صید شده در بازه طولی ۷۵-۲۱ سانتی‌متر قرار دارند. حداکثر درصد فراوانی در سال‌های ۱۳۹۵ و ۱۳۹۶ در طبقه طولی ۵۴-۵۱ و ۵۰-۴۷ سانتی‌متر مشاهده گردید در سال ۱۳۹۷ طبقه طولی شامل حداکثر فراوانی ۳۰-۲۷ و ۳۴-۳۱ سانتی‌متر بودند و در بقیه سال‌ها ۱۳۹۷ تا ۱۴۰۰ طبقه دارای حداکثر فراوانی ۳۴-۳۱ سانتی‌متر بود (شکل ۳). حداکثر سن محاسبه شده نیز در سال‌های مورد بررسی متغیر بود به طوری که در سال ۱۳۹۵ برابر ۶/۸۲ و در سال‌های ۱۳۹۶ تا ۱۳۹۸ معادل ۱۱/۵۴ و در سال‌های ۱۳۹۹ و ۱۴۰۰ برابر ۱۵ سال محاسبه شده است.



شکل ۲- درصد فراوانی ماهی کپور دریابی در طبقات مختلف طول چنگالی (سانتی‌متر) در ساحل جنوب‌شرقی دریای خزر در سال‌های ۱۴۰۰-۱۳۹۵.

در سال‌های ۱۳۹۵، ۱۳۹۷ و ۱۳۹۸ الگوی رشد ایزومتریک بود و در سال‌های ۱۳۹۹ و ۱۴۰۰ الگوی رشد آلومتریک مثبت به دست آمد (شکل ۳).

رابطه نمایی طول چنگالی- وزن: در بررسی طول چنگالی- وزن، در سال ۱۳۹۶ طول ماهی کپور از الگوی رشد آلومتریک منفی پیروی کرده و



شکل ۳- نمودار رابطه نمایی طول چنگالی و وزن کل کپور دریایی در ساحل جنوب شرقی دریای خزر در سال‌های ۱۳۹۵-۱۴۰۰.

جدول ۱- برخی پارامترهای پویایی ماهی کپور در سال‌های ۱۳۹۵-۱۴۰۰ در سواحل گلستان.

سال	دامنه طولی (سانتی متر)	تعداد	حداکثر فراوانی (درصد)	K (در سال)	L <sub>∞</sub> (سانتی متر)	t <sub>0</sub> (سال)	Φ'	W <sub>∞</sub> (گرم)
۱۳۹۵	۶۶-۲۱	۹۵۹	۵۴-۵۱	۰/۴۴	۷۴/۰۳	-۰/۲۹	۳/۳۸	۶۴۳۹/۳
۱۳۹۶	۷۰-۱۸	۷۵۲	۵۰-۴۷	۰/۲۶	۷۷/۲	-۰/۴۹	۳/۱۹	۷۰۹۶/۱
۱۳۹۷	۷۵-۲۱	۲۱۱	۳۰-۲۷	۰/۲۶	۷۷/۲	-۰/۴۹	۳/۱۹	۶۸۸۱/۶
۱۳۹۸	۶۶-۲۱	۷۶۵	۳۴-۳۱	۰/۲۶	۶۷/۷	-۰/۵۱	۳/۰۸	۴۸۳۹/۵
۱۳۹۹	۷۵-۲۱	۲۶۳	۳۴-۳۱	۰/۲	۷۷/۲	-۰/۶۵	۳/۰۸	۱۰۰۰۸/۳
۱۴۰۰	۷۵-۲۱	۱۱۰	۳۴-۳۱	۰/۲	۷۷/۲	-۰/۶۵	۳/۰۸	۱۰۰۰۸/۳

-ادامه جدول ۱-

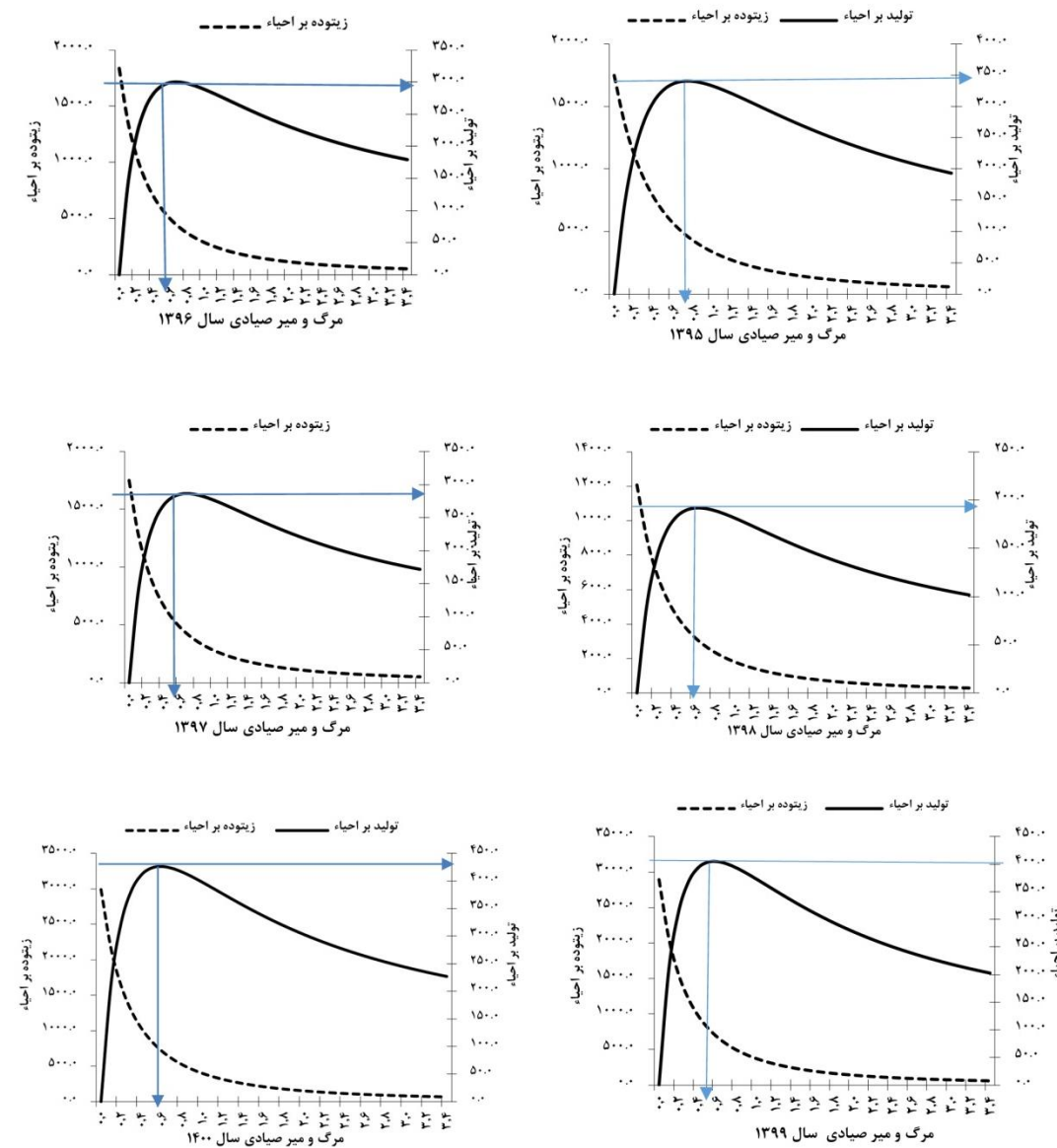
E <sub>max</sub>	E <sub>50</sub>	E <sub>10</sub>	Z	F <sub>max</sub>	F <sub>cur.</sub>	F <sub>0.1</sub>	F <sub>lim.</sub>	F <sub>opt.</sub>	M	سال
۰/۵	۰/۳	۰/۴۲	۱/۲۱	۰/۷	۰/۵۶	۰/۴۶	۰/۴۳	۰/۳۲	۰/۶۴	۱۳۹۵
۰/۶	۰/۳۳	۰/۵۱	۰/۷	۰/۷	۰/۲۵	۰/۳۸	۰/۳	۰/۲۳	۰/۴۵	۱۳۹۶
۰/۶	۰/۳۳	۰/۵۱	۰/۷	۰/۷	۰/۲۵	۰/۳۹	۰/۳	۰/۲۳	۰/۴۵	۱۳۹۷
۰/۵۵	۰/۳۱	۰/۴۶	۰/۶۵	۰/۶۵	۰/۱۸	۰/۳۸	۰/۳۱	۰/۲۳	۰/۴۶	۱۳۹۸
۰/۵۷	۰/۳۱	۰/۴۷	۰/۹۶	۰/۷	۰/۵۸	۰/۳۴	۰/۲۵	۰/۱۹	۰/۳۸	۱۳۹۹
۰/۵۹	۰/۳۲	۰/۵	۱/۲	۰/۶۲	۰/۸۲	۰/۳۴	۰/۲۵	۰/۱۹	۰/۳۸	۱۴۰۰

-ادامه جدول ۱-

صید مشاهداتی	صید برآورده	B <sub>mean</sub>	B <sub>i</sub>	MSY	F <sub>MSY</sub>	MCY	E cur	سال
۳۴۰۱	۲۴۶۵/۶	۳۹۴۳/۳	۱۱۱۶۰	۱۸۰۰/۳	۱/۲۵	۱۲۰۰/۲	۰/۴۷	۱۳۹۵
۴۳۴۲	۴۶۰۰	۱۶۱۵/۳	۳۴۱۰۹/۵	۳۸۵۴/۹	۱/۸۵	۲۵۷۰	۰/۳۵	۱۳۹۶
۴۳۳۱	۵۷۷۱/۹	۷۳۹۶/۳	۴۴۴۱۵/۳	۵۵۳۱۵/۹	۲/۲۲	۳۶۸۷۷/۳	۰/۳۵	۱۳۹۷
۴۹۲۴۶	۶۰۰۰۰	۲۳۵۶۰۲/۵	۴۸۹۴۶۰/۲	۵۷۳۶۸/۸	۲/۲	۳۸۲۴۵/۹	۰/۲۹	۱۳۹۸
۹۳۷۹۹	۸۹۹۲۶/۳	۱۴۶۹۴۸/۹	۸۰۱۶۵۲/۲	۷۶۳۰۷/۲	۰/۵۹	۵۰۸۷۱/۴	۰/۶	۱۳۹۹
۱۹۷۸۳	۱۸۹۴۲	۲۸۰۸۱/۲	۱۲۹۷۶۰/۵	۱۲۳۵۱/۶	۰/۴۸	۸۲۳۴/۴	۰/۶۸	۱۴۰۰

نیز محاسبه گردید (۱۷). براساس مدل بورتون هولت در محاسبه تولید بر احیا مشاهده شد که در صورت صید ماهی در سن صید ( $L_c$ ، ماهیان صید شده وزنی به مراتب کمتر از زمانی دارندکه ماهیان در این سن صید نمی‌شوند. این تغییرات در شکل ۴ به وضوح دیده می‌شود.

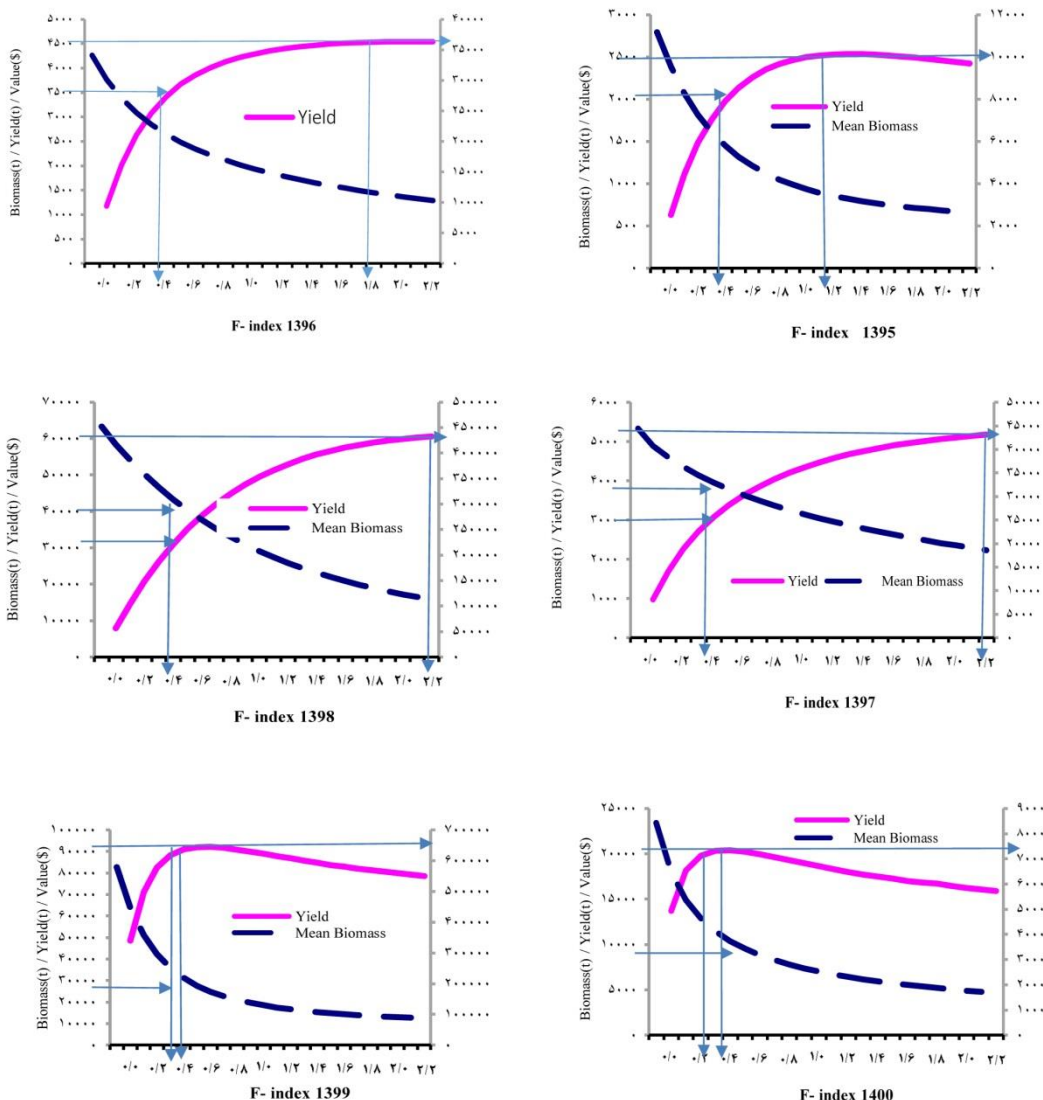
مدل بورتون و هولت: در مدل بورتون و هولت، ابتدا برای شاخصه  $L_c$  و شاخص  $L_c$  مقادیر آنها مطابق جدول ۱ در هر سال (۱۴۰۰-۱۳۹۵) در معادله بورتون و هولت قرار داده شد و سپس تغییرات مقدار مرگ و میر صیادی بیشینه ( $F_{max}$ ) بر تولید بر احیاء ( $R/Y/R$ ) و زیستوده بر احیاء ( $B/R$ ) رسم گردید و مقدار نسبی آن



شکل ۴- منحنی تولید بر احیاء ماهی کپور در جنوب شرقی دریای خزر با مقادیر  $L_c$  و  $L_r$  در سال‌های ۱۳۹۵-۱۴۰۰.

افزایشی تا ضریب مرگ و میر صیادی بیشینه ادامه یافت و پس از آن با افزایش این ضریب مقدار تولید روند کاهشی پیدا کرد (شکل ۵).

مدل تامپسون و بل: بسیاری از متخصصین شبلاطی مدل بورتون و هولت را که مبنای آن با استفاده از تجزیه و تحلیل گروههای همسن و جمعیت مجازی<sup>۱</sup> طراحی شده را یک مدل تاریخی دانسته و مدل تامپسون و بل را یک مدل پیش‌بینی نام نهاده‌اند (۱). در مدل تامپسون و بل، با افزایش میزان ضریب مرگ و میر صیادی، میزان تولید افزایش یافت. این روند



شکل ۵- نمودار تغییرات تولید براساس ضرایب مرج و میر صیادی ماهی کپور با استفاده از مدل تامپسون و بل در سال‌های ۱۳۹۵-۱۴۰۰.

مقایسه نتایج مربوط به مطالعات صورت گرفته در مناطق مختلف بیانگر این است که هم دامنه سنی و هم دامنه طولی ماهی کپور دارای تغییرات قابل توجه است. عوامل زیادی مانند بهره‌برداری بیش از حد (فشار صید) در جنوب‌شرقی دریای خزر، تفاوت میزان صید ثبتی پرهای صیادی و صید برآورد شده (خطای آماری و صید غیرمجاز) می‌توانند در این تغییرات اثرگذار باشند. بر اساس مطالعات (۱۸)، سن ماهی کپور در رودخانه‌های ولگا و اورال به ۱۶ تا

### بحث و نتیجه‌گیری

با ذهن طولی ماهیان صید شده در دامنه طولی ۷۵-۲۱ سانتی‌متر قرار داشت، حداقل فراوانی طولی ۹۵۹ (ماهی) و حداقل تعداد (۱۱۰ ماهی) بیومتری شده بود. حداقل درصد فراوانی در طبقات طولی ۳۰-۲۷ و ۵۴-۵۱ سانتی‌متر بودند (جدول ۱). حداقل سن محاسبه شده از ۶/۸۲ (۱۳۹۵) تا ۱۵ (۱۳۹۹) و ۱۴۰۰ (سال متغیر بود).

برآورد نموده و رشد کپور در ترکیه را آلومتریک مثبت خوانند (۲۲). مقادیر  $a$  و  $b$  رابطه طول- وزن ماهی کپور در دریاچه باfra ترکیه به ترتیب  $0/0048$  و  $3/31$  ( $t^2 = 0/98$ ) برآورد، و رشد کپور را آلومتریک مثبت ارزیابی نمودند (۲۳). بندانی و همکاران (۲۰۱۴) مقادیر  $a$  و  $b$  را به ترتیب  $0/0313$  و  $2/83$  برای کپور برای سال ۹۲-۹۱ اعلام کردند (۲۴). ضرایب  $a$  و  $b$  ممکن است بین ذخایر گوناگون و نواحی مختلف، تفاوت‌هایی داشته باشند. Pitcher (۲۰۰۲) بیان داشت که علت تفاوت مقادیر  $a$  و  $b$  می‌تواند به تغییرات شرایط محیطی، فیزیولوژی ماهی، جنسیت، پیشرفت غدد جنسی، میزان غذای قابل دسترس در محیط، زمان و روش نمونه‌برداری و همچنین منطقه بررسی بستگی داشته باشد (۲۵). دامنه ضرایب رشد و طول‌های مجانب از این گونه در مناطق دیگر توسط سایرین به دست آمده‌اند که نتایج حاصل به این صورت بیان شده‌اند (جدول ۲).

سال نیز می‌رسد. بررسی ماهی کپور در دریاچه گلهیسار ترکیه نشان داد ترکیب سنی این گونه شامل شش گروه سنی است که دارای طول چنگالی بین  $10/5$  تا  $49/4$  سانتی‌متر می‌باشند (۱۹). در مطالعات (۲۰) در نیوزیلند محدوده سنی ماهی کپور را  $0$  تا  $3$  سال گزارش نمودند. در یک جمعیت ماهی، چنان‌چه ساختار سنی و طولی دارای دامنه وسیعی باشد، نشان‌دهنده این مسئله است که زیستگاه دارای ذخیره غذایی کافی است (۲۱).

در این بررسی حداکثر و حداقل مقدار ضریب  $a$  در رابطه طول- وزن به ترتیب  $0/0236$  و  $0/0044$  در سال ۱۳۹۶ و ۱۴۰۰ بود. در این سال‌ها الگوی رشد به ترتیب آلومتریک منفی و آلومتریک مثبت بود. ضریب تبیین ( $R^2$ ) محاسباتی در کل دوره بررسی بالاتر از  $0/91$  و حداکثر مقدار این ضریب در سال ۱۳۹۵ معادل  $0/958$  به دست آمد.

Karataş و همکاران رابطه طول- وزن را برای هر دو جنس نر و ماده به صورت  $W=0.0048FL^{3.319}$

جدول ۲- شاخصه‌های رشد ماهی کپور در سال‌ها و مناطق مختلف.

منبع	$\phi$	$t_0$ (سال)	K (سال)	$L_{\infty}$ (سانتی‌متر)	مکان
(۱۹)	۶/۸۱	-۰/۴۴	۰/۱۷	۷۷/۷۶	Golhisar Lake (Turkey)
(۲۶)	۷/۱۵	-۰/۲۴	۰/۰۷۴	۱۳۰	Karamik Lake (Turkey)
(۲۰)	۳/۶۸	۰/۱۵	۰/۲۱	۶۷/۵	New Zealand
(۲۲)	۵/۸	-۱/۹۳	۰/۱۵۳	۴۶/۳۹	Almus Lake (Turkey)
(۲۷)	۳/۵۸	-۰/۳۹	۰/۶۰	۸۰/۳۳	Magla Reservoir(Pakistan)
(۲۳)	-	-۰/۸	۰/۲۷۴	۶۰/۹۶	Bafra Lake (Turkey)
(۲۸)	-	-۱/۴۴	۰/۲۵	۴۹/۶۰	Mogan Lake (Turky)
(۲۹)	-	-۰/۸	۰/۱۳	۷۰	جنوب شرقی دریای خزر-۸۱
(۳۰)	۲/۸۴	-	۰/۱۷	۶۸/۰۴	جنوب شرقی دریای خزر-۸۵
(۲۴)	۲/۸۵	-۰/۳	۰/۱۴	۷۱/۶	جنوب شرقی دریای خزر-۹۱
(۲۴)	۲/۸۴	-۰/۳	۰/۱۷	۶۴/۱۹	جنوب شرقی دریای خزر-۹۲
(۳۱)	۳/۱۲	-۰/۵۶	۰/۲۳	۷۵/۶	جنوب شرقی دریای خزر-۹۵

کرد. مرگ و میر طبیعی در برخی موارد به تنها بی می تواند در مدیریت یک ذخیره به کار گرفته شود از این رو (۳۳) بیان می دارد چنان‌چه نرخ مرگ و میر طبیعی (M) در ذخیره‌ای بالا باشد بهتر است قبل از این‌که ذخیره کاهش یابد صید آغاز گردد. ذخایر دریایی ثابت نبوده و دائماً به دلیل عوامل مختلف میزان ذخیره و صید آنان در حال تغییر می‌باشند. عوامل متعددی موجب کاهش شانس بقای افراد در ذخایر دریایی شده که این عوامل شامل شرایط نامناسب محیطی، کمبود غذا، رقابت و شاید مهم‌تر از همه (در مورد جانوران دریایی) شکار شدن توسط جانوران دیگر هستند (۱). میزان جمعیت یک گونه آبزی بستگی به بقاء یعنی میزان موفقیت در زادآوری آن گونه داشته و به علت این‌که شرایط زیست‌محیطی همواره درحال تغییر است، به همین خاطر، شاخص‌های رشد یک گونه هم ممکن است در طی سال‌های مختلف دستخوش نوسان شده و از این‌رو این شاخص‌ها باید در زمان‌های متواتی بررسی شوند (۱۴).

محاسبه ضرایب مرگ و میر ماهی کپور در مناطق گوناگون و نیز در ایران در سال‌های مختلف در جدول ۳ ارائه گردیده است.

براساس مطالعات انجام‌شده در مناطق مختلف ترکیه، پاکستان و نیوزلند، مقدار طول مجانب ماهی کپور از  $46/39$  تا  $130$  سانتی‌متر متفاوت بوده و مقدار این طول در ایران در سال‌های مختلف در محدوده این تغییرات قرار می‌گیرد. مطابق جدول فوق ضریب رشد کپورماهیان در مطالعات ذکر شده در بیشتر موارد با مطالعه حاضر همخوانی داشته و در برخی از آن‌ها متفاوت می‌باشد که تفاوت زیستگاه و تفاوت‌های جمعیت کپورماهیان از دلایل احتمالی اختلاف‌های مشاهده شده در ضرایب رشد می‌تواند باشد.

در این پژوهش دامنه ضرایب رشد (k) ماهی کپور از  $0/2$  (سال‌های  $1399$  و  $1400$ ) تا  $0/44$  (سال  $1395$ ) برآورد شد و طول‌های مجانب ماهی کپور از  $67/7$  سانتی‌متر (سال  $1398$ ) تا  $77/2$  سانتی‌متر (سال‌های  $1396$ ،  $1397$ ،  $1399$  و  $1400$ ) برآورد شد.

به طور معمول مقدار مرگ و میر طبیعی در یک منطقه مشخص طی سال‌های مختلف از روند ثابتی پیروی کرده و اگر تغییرات زیست‌محیطی شدیدی رخندید، این میزان تقریباً یکسان باقی می‌ماند (۳۲). از این مقدار می‌توان برای پیش‌فرضی جهت مطالعات آینده از ذخایر این گونه در منطقه یاد شده استفاده

جدول ۳- مقادیر مرگ و میر کل و طبیعی و صیادی در بررسی‌های دیگر.

منبع	E	F (سال)	Z (سال)	M (سال)	مکان
(۱۹)	۰/۷۴	۱/۰۱	۱/۳۶	۰/۳۵	Golhisar Lake (Turkey)
(۲۶)	۰/۶	۰/۲۴	۰/۴	۰/۱۶	Karamik Lake (Turkey)
(۲۰)	۰/۵	۰/۳۲	۰/۶۴	۰/۳۲	Almus Lake (Turkey)
(۲۷)	۰/۲۷	۰/۴۳	۱/۳۲	۰/۸۹	Magla Reservoir (Pakistan)
(۲۹)	۰/۸	۱/۲۵	۱/۵	۰/۲۵	جنوب شرقی دریای خزر-۸۱
(۳۰)	۰/۵۶	۰/۴۲	۰/۷۳	۰/۳۱	جنوب شرقی دریای خزر-۸۵
(۲۴)	۰/۰۷	۱/۰۲	۱/۳	۰/۲۸	جنوب شرقی دریای خزر-۹۱
(۲۴)	۰/۰۸	۱/۱	۱/۴	۰/۳۲	جنوب شرقی دریای خزر-۹۲
(۳۱)	۰/۴۴	۰/۳۴	۰/۷۷	۰/۴۳	جنوب شرقی دریای خزر-۹۰

بيان کرد که با اين ميزان مرگ و مير صيادي جاري، در اين منطقه بيش از يك دهه از صيد بيرويه كپورماهيان مي گذرد که نيازمند تصميمات آنی برای بهينه‌سازی وضعیت صید و تلاش صيادي بهمنظور رسیدن به اهداف مدیریت منابع است.

بيوماس ماهي كپور در آب‌های ايراني جنوب دريای خزر در سال ۸۱ معادل ۱۱۳۷/۸۸ تن و ميزان حداکثر محصول قابل برداشت پايدار (MSY) معادل ۳۹۴/۳۴ تن برآورد شد که در اين سال ميزان صيد ۱۶۰ تن ثبت گردیده است (۲۹). ميزان بيوماس ماهي كپور و حداکثر محصول قابل برداشت پايدار در مطالعه‌اي که بنداني و همكاران (۲۰۱۴) با استفاده از آناليز مجازي جمعيت (VPA) برای سال‌های ۹۱ و ۹۲ انجام داده‌اند به ترتيب ۱۹۹۹ تن، ۳۶۹ تن و ۱۲۶۸ تن و ۲۷۷/۸ تن بوده است (۲۴). در بررسی حاضر مقدار زيتوده به شرح مقادير جدول ۱ می‌باشد که بسيار کمتر از مطالعات انجام گرفته توسط سايرين است و می‌توان آن را به وضعیت وخيم صيد كپور ماهيان در سال‌های اخیر دانست. حداکثر و حداقل صيد برآوردي در سال‌های ۱۳۹۹ و ۱۳۹۵ به ترتيب برابر ۸۹۹۲۶/۳ و ۲۴۶۵/۶ کيلو گرم بود در حالی که ميزان صيد مشاهداتي (ثبتی) در اين سال‌ها به ترتيب معادل ۹۳۷۹۹ و ۳۴۰۱ کيلوگرم بود. ميزان MSY محاسبه شده در سال‌های ۱۳۹۹ و ۱۳۹۵ به ترتيب ۷۶۳۰۷/۲ و ۱۸۰۰/۳ کيلو گرم بوده است. بسياری از دانشمندان هدف MSY را مورد انتقاد قرار داده و اعلام نموده‌اند که MSY جمعيت ماهيان را در معرض نوسانات جمعيتي قرار می‌دهد (۳۴). برخی نيز معتقدند بيش‌تر تأكيد حداکثر محصول پايدار ماهيان هدف می‌باشد بدون توجه به ساير ماهيان و همچنان نسبت به فشارهای سياسي نيز حساس است. از آنجايي که اکوسистем‌ها از جمله اکوسистем منابع شيلاتي داراي ويژگي‌های خاص مانند عدم قطعیت،

چنان‌چه در يك منطقه مشخص تغييرات زيست‌محيطي شدیدي اتفاق نيفت، معمولاً ميزان مرگ و مير طبيعي طي سال‌های مختلف از روند ثابتی پيروی کرده و ميزان آن تقربياً يكسان باقی می‌ماند (۳۲). نرخ مرگ و مير طبيعي در مطالعه حاضر از ۰/۶۴ در سال‌های ۱۳۹۹ و ۱۴۰۰ تا ۰/۶۴ در سال ۱۳۹۵ بوده است. برآورد دامنه نرخ مرگ و مير طبيعي از ۰/۳۸ تا ۰/۶۴ بر سال در اين مطالعه قابل مقايسه با ساير نرخ‌های به‌دست آمده در اين منطقه است. مقايسه مطالعات صورت گرفته نشان می‌دهد که ميزان مرگ و مير طبيعي ماهي كپور در جنوب‌شرقى دريای خزر، تقربياً دامنه‌اي بين ۰/۲۵ تا ۰/۳۵ دارد که می‌تواند اين مقدار پيش‌فرضی برای مطالعات آينده اين گونه در اين منطقه باشد ولی در مطالعات آب‌های پاکستان نرخ مرگ و مير طبيعي تا ۰/۸۹ محاسبه گردیده است. نتایج مطالعات سال‌های ۸۱ و ۸۵ نشان می‌دهد که ضریب مرگ و مير صيادي از ۱/۲۵ در سال ۸۱ به ۰/۴۲ در سال ۸۵ کاهش یافته است. پس از آن در سال‌های ۹۱ و ۹۲ افزایش پیدا کرده است. به‌نظر می‌رسد که مقادير پيش‌گيرانه تعیین شده ضریب ( $F_{\text{limit}} = ۰/۳M$ ) و ضریب حد ( $F_{\text{opt}} = ۰/۵M$ ) بهينه مير صيادي، نقاط مرجع زيستي مناسب‌تری در روش نمودن محدودیت‌های مدل‌های تولید به‌ازاي بازسازی باشند. در اين مطالعه دامنه نرخ مرگ و مير صيادي جاري ( $F_{\text{cur}}$ ) محاسبه شده برای ماهي كپور در جنوب‌شرقى دريای خزر از ۰/۱۸ در سال ۱۳۹۸ تا ۰/۸۲ در سال ۱۴۰۰ برآورد گردیده است. ميزان مرگ و مير صيادي جاري فقط در سال ۱۳۹۸ از نقطه مرجع زيستي ( $F_{\text{opt}} = ۰/۱۸$ ) کم‌تر بود و در بقيه سال‌های مورد بررسی از آن بالاتر بود. همچنان ميزان مرگ و مير صيادي جاري در سال‌های ۱۳۹۶ تا ۱۳۹۸ از نقطه مرجع زيستي ( $F_{\text{limit}}$ ) کم‌تر و در بقيه سال‌ها مقادير آن بيش‌تر برآورد شده بود. بنابراین می‌توان

خروجی آن، دیگر برای مدیریت ماهیگیری با رویکرد اکوسیستمی کارایی لازم را نداشته باشند (۳۵).

پویایی، پیچیدگی و پاسخ‌های تکاملی گونه‌ها را دارا می‌باشند، نظریه بیشینه تولید پایدار هیچ‌کدام از آنها را در برنامی‌گیرد، از این‌رو شاید مفهوم ستی MSY و

## منابع

- 1.King, M. (2010). *Fisheries biology assessment and management fishing*. Second Edition. Blackwell publishing Ltd, 382p.
- 2.Cooper, A. B. (2004). *A Guide to Fisheries Stock Assessment*. Department of Natural Resources. University of New Hampshire. 44p.
- 3.Abdoli, A., & Naderi, M. (2008). *Biodiversity of fish in the southern of basin of the Caspian Sea: Aquatic Science Publishing*. 238p.
- 4.Salmanmahiny, A., Fazli, H., Daryanabard, R., Kamyab, H. R., Fendereski, F., Davar, L., Azarmedal, H., Mehri, A., Kheirabadi, V., Mamashli, M., & Jahanshahi, M. (2012). Zoning and determining the degree of ecological sensitivity. Coastal areas south of the Caspian Sea. Sadaf Sama Publications. pp. 200-220.
- 5.Abdoli, A. (1999). *Fishes of inland waters of Iran*. 122p.
- 6.Bandani, G. A. (2013). Stock assessment of common carp and Caspian roach in Iranian coastal waters in south Caspian Sea. Inland waters Aquatic Stock Research Institute. N.0-77-12-91115. 40p. [In Persian]
- 7.Daryanabard, Gh., Abdolmaleki, Sh., Bandani, Gh. A., & Kor, D. (2007). Stock assessment of fish in Caspian Sea. Final Report. Iranian Fisheries Research Institute. 220p.
- 8.Harley, Sh., Ransom, J., Myers, A., & Alistair, D. (2001). Is Catch-per-Unit-Effort Proportional to Abundance? *Canadian Journal of Fisheries and Aquatic Sciences*, DOI: **10.1139/cjfas-58-9-1760**.
- 9.Zhang, C. I., & Sullivan, P. J. (1988). Biomass-based cohort analysis that incorporates growth. *Trans. Am. Fish. Soc.* 117, 180-189.
- 10.Zhang, C. I., & Mergrey, B. A. (2010). A Simple Biomass-Based Length-Cohort Analysis for Estimating Biomass and Fishing Mortality, *Transactions of the American Fisheries Society*. 139, 911-924.
- 11.Dick, E. J., & MacCall, A. D. (2011). Depletion-Based Stock Reduction Analysis: A catch-based method for determining sustainable yields for data-poor fish stocks . *Fisheries Research journal home page: www.elsevier.com/locate/fishres*.
- 12.Huxley, L. S. (1924). Constant differential growth ratios and their significance. *Nature*. 114, 895896.
- 13.Pauly, D., & Munro, J. L. (1984). Once more on the comparison of growth in fish and invertebrates. ICLARM: International Center for Living Aquatic Resources Management, *Fishbyte*, 2 (1), p. 21.
- 14.Pauly, D. (1979). Theory and management of tropical multispecies stocks: a review with emphasis on the Southeast Asian demersal fisheries. ICLARM Studies Reviews, 35p.
- 15.Pauly, D. (1980). On the interrelationships between natural mortality, growth parameters, and mean environmental temperature in 175 fish stocks. *Journal Du Conseil International Pour L'Exploration De La Mer*. 39 (2), 175-192.
- 16.Sparre, P., & Venema, S. C. (1992). Introduction to tropical fish Stock Assessment. Part 1- Manual, 375., FAO Rome. ITALY.
- 17.Beverton, R. J. H., & Holt, S. J. (1956). A review of methods for estimating mortality rates in exploited fish populations, with special reference to sources of bias in catch sampling. *Rapp. P.-v Reun. CIEM*, 140, 67-83.

- 18.Nikolesky, G. V. (1976). The ecology of fishes. Academic press, London. [The nutritive value of carp (*Cyprinus carpio*)].
- 19.ALP, A., & Balık, S. (2000). Growth conditions and stock analysis of the carp (*Cyprinus carpio*, Linnaeus 1758) population in Gölhısar Lake. *Turkish Journal of Zoology*, 24 (3), 291-304.
- 20.Tempero, G. W., Ling, N., Hicks, B. J., & Osborne, M. W. (2006). Age composition, growth, and reproduction of koi carp (*Cyprinus carpio*) in the lower Waikato region, New Zealand. *New Zealand Journal of Marine and Freshwater Research*, 40 (4), 571-583.
- 21.Unver, B. (1998). An Investigation of the reproduction properties of chub (*Leuciscus cephalus* L., 1758) in Lake Tödürge (Zara/Sivas). *Tr. J. Zoology*, 22, 141-147.
- 22.Karataş, M., Çiçek, E., Başusta, A., & Başusta, N. (2007). Age, growth and mortality of common carp (*Cyprinus carpio* Linneaus, 1758) population in Almus Dam Lake (Tokat-Turkey). *Journal of Applied Biological Sciences*, 1 (3), 81-85.
- 23.Yilmaz, S., Yazicioglu, O., & Polat, N. (2012). Age and Growth Properties of Common Carp (*Cyprinus carpio* L., 1758) from Bafra Fish Lakes (Samsun, Turkey).
- 24.Bandani, Gh., Ghasemi, Sh., Parafkande, F., Larijani, M., Daryanabard, Gh., Aghaei, A., Nazeri, M., Noudeh Sharifi, S., Sohrabi, T., & Iri, Y. (2014). Evaluation of carp and carp stocks in the Iranian waters of the southern Caspian Sea.
- 25.Pitcher, T. J. (2002). A bumpy old road: Size-base methods in fisheries assessment. In: Hand book of Fish Biology and Fisheries: Vol. 2, (Fisheries. Hart, P. J. B., and Reynolds, J. D.). Blackwell Publishing, Oxford. pp. 189-210.
- 26.Balık, İ., Çubuk, H., Özkök, R., & Uysal, R. (2006). Some characteristics and size of carp (*Cyprinus carpio* L., 1758) population in the Lake Karamık (Afyonkarahisar/Turkey). *Turkish Journal of Fisheries and Aquatic Sciences*, 6 (2).
- 27.Mirza, Z. S., Nadeem, M. S., Beg, M. A., & Qayyum, M. (2012). Population status and biological characteristics of common carp (*Cyprinus carpio* L., 1758) in Magla reservoir (Pakistan). 40-53.
- 28.Saylar, Ö., & Benzer, S. (2014). Age and growth characteristics of carp (*Cyprinus carpio* L., 1758) in Mogan Lake, Ankara, Turkey. *Pak. J. Zool.* 46 (5), 1447-1453.
- 29.Ghaninejad, D., Abdolmaleki, Sh., Sayad Bourani, M., Poorgholam, M., Fazli, H., Bandani, Gh. A., & Abbasi, K. (2002). Stock assessment of Caspian bony fish. Final report. Iranian Fisheries Research Institute.
- 30.Bandani, Gh., Abdolmaleki, Sh., Yelqi, S., Ghasemi, Sh., Ghorbani, R., Tavakoli, M., Parafkande, P., Daryanabard, R., Larijani, M., Nahrour, M., Kor, A., Khedmati, K., & Taleshian, H. (2006). Study of biology, age, growth, diet and reproduction of carp fish (*Cyprinus carpio*) in the southern shores of the Caspian Sea. The final report of the Research Center for Aquatic Reserves of Inland Waters-Gorgan.
- 31.Aliakbarian Ghanati, A. (2017). Modelling seasonal-spatial relationships between common carp (*Cyprinus carpio* Linnaeus, 1758) catch and stock assessment and environmental factors in southeastern Caspian Sea, Agricultural Sciences and Natural Resources, College of Fisheries and Environmental Sciences, Ph.D. thesis. 149p.
- 32.Cadima, E. L. (2003). Fish Stock Assessment Manual. FAO fisheries Technical paper No. 393. Rome. 161p.
- 33.Haddon, M. (2011). Modelling and Quantitative Methods in Fisheries.' 2nd edn, Chapman and Hall. 449p.
- 34.Beddington, J. R., & May, R. M. (1977). Harvesting natural populations in a randomly fluctuating environment. *Science*, 197 (4302), 463-465.
- 35.Matsuda, H., & Abrams, P. A. (2006). Maximal yields from multi-species fisheries systems: Rules for harvesting top predators and systems with multiple trophic levels. *Ecol. Appl.* 16, 225-237.